

اثر ریزپوشانی با آلژینات / کیتوزان بر بقاء باکتری پروبیوتیک لاکتوباسیلوس پلانتاروم (*Lactobacillus plantarum*) در شرایط شبیه سازی شده معده و روده در فیل ماهی (*Huso huso*)

سید صمد حسینی^۱، تکاور محمدیان*^۱، محمدرضا عباسپور^۲، مجتبی علیشاهی^۱

*takavar_m2002@yahoo.com

۱- دانشکده دامپزشکی، دانشگاه شهید چمران اهواز، اهواز، ایران

۲- مرکز تحقیقات دارویی دانشکده داروسازی دانشگاه علوم پزشکی مشهد، مشهد، ایران

تاریخ پذیرش: اسفند ۱۳۹۶

تاریخ دریافت: اردیبهشت ۱۳۹۶

چکیده

اثر مثبت ریزپوشانی بر قابلیت تحمل شرایط شبیه سازی شده معده و روده توسط پروبیوتیکها ثابت شده است. از مهم ترین عوامل کاهش زندهمانی پروبیوتیکها هنگام عبور از دستگاه گوارش، pH پایین معده و وجود پروتئازها و املاح صفراوی می باشد. به منظور بهبود قابلیت زندهمانی در شرایط نامساعد معده و روده، باکتری پروبیوتیک لاکتوباسیلوس پلانتاروم (*Lactobacillus plantarum*) توسط آلژینات/کیتوزان با استفاده از روش امولسیون ریزپوشانی شد. اهداف این تحقیق بررسی کارآمدی ریزپوشانی با آلژینات/کیتوزان جهت حمل باکتری و بررسی بقاء باکتری در شرایط شبیه سازی شده معده و روده می باشد. برای مطالعه شکل ظاهری ریزپوشینهها از تکنیک SEM^۱ و برای تعیین اندازه و نحوه پراکنش ذرات ریزپوشینه از روش تجزیه اندازه ذرات^۲ استفاده شد. برای بررسی قابلیت زندهمانی باکتریهای ریزپوشانی شده و آزاد در شرایط شبیه سازی شده معده و روده، در فواصل زمانی صفر، ۶۰، ۱۲۰ دقیقه به مدت ۴۸ ساعت در دمای ۳۷ درجه سانتیگراد گرمخانه گذاری شد. نتایج این تحقیق بیانگر این است که d_{peak} به روش امولسیون $10/4 \mu m$ و میانگین قطر ذرات $2/39 \mu m$ ، مقدار پتانسیل زتا در این تحقیق $36/2 mv +$ ، تعداد باکتریهای ریزپوشانی شده $10^9 CFU/g \pm 0/06 \times 10^9$ و زندهمانی باکتریها بعد از ۱۲۰ دقیقه شرایط شبیه سازی شده شیره گوارشی در باکتری آزاد $10^9 CFU/g \pm 0/09 \times 10^9$ و در باکتریهای ریزپوشانی شده $10^9 CFU/g \pm 0/06 \times 10^9$ محاسبه شد ($p < 0/05$). نتیجه این پژوهش نشان داد که بین باکتریهای ریزپوشانی شده و آزاد، زندهمانی و تحمل شرایط شبیه سازی شده شیره گوارشی در باکتریهای ریزپوشانی شده به مراتب بالاتر می باشد.

کلمات کلیدی: ریزپوشانی، لاکتوباسیلوس پلانتاروم، شرایط شبیه سازی شده معده و روده، آلژینات / کیتوزان

*نویسنده مسئول

^۱. Scanning electron microscope

^۲. Particle size Analyzer

مقدمه

توسعه پایدار آبی پروری، نیازمند به کارگیری تکنیک‌های نوین می‌باشد. در بین تکنیک‌های معرفی شده، استفاده از باکتری‌های مفید یا زیست‌یار با اهدافی نظیر بهینه‌سازی فاکتورهای فیزیکیوشیمیایی آب، ارتقاء عملکرد رشد، افزایش ایمنی و مقاومت در برابر عوامل بیماری‌زا در آبزیان، صورت می‌گیرد. تاثیرگذاری باکتری‌های زیست‌یار در خصوص ارتقاء معیارهای ذکر شده، در تحقیقات زیادی به اثبات رسیده است. پروبیوتیک‌ها میکروارگانیسم‌های زنده‌ای هستند که اگر به تعداد کافی به روده موجود برسند، اثرات سلامتی بخش در میزبان برجای می‌گذارند. فعالیت و زنده‌ماندن پروبیوتیک‌ها به هنگام رسیدن به روده شرط لازم برای بروز اثرات سلامتی بخش است (Shah, 2007). مکانیسم عملکرد پروبیوتیک‌ها احتمالاً به دلیل دفع رقابتی عوامل بیماری‌زا است؛ یعنی پروبیوتیک‌ها از طریق رقابت برای مواد مغذی و یا جایگاه‌های اتصال، تغییر متابولیسم باکتری‌ها و یا با تحریک سیستم ایمنی بدن مانع تشکیل کلونی پاتوژن‌ها در لوله گوارش میزبان می‌شوند. همچنین از طریق تولید ویتامین‌ها، ترکیبات مسمومیت‌زا در جیره و تجزیه ذرات غیرقابل هضم سبب تحریک اشتها و بهبود تغذیه میزبان می‌شوند. پروبیوتیک‌ها باید با منشا گونه جانوری باشند. این معیار بر پایه دلایل اکولوژیک است و به زیستگاه اصلی پروبیوتیک انتخابی (در فلور روده) توجه دارد. یعنی پروبیوتیک انتخاب شده با گونه هدف سازگاری داشته باشد زیرا بسیاری از محققین اعتقاد دارند این باکتری از شانس بیشتری برای رقابت با باکتری‌های بومی روده و استقرار در مقادیر قابل ملاحظه در میزبان جدید را دارا می‌باشد (Rengpipat *et al.*, 2003; Alvandi *et al.*, 2004).

در این میان اسیدلاکتیک باکتری‌ها مهمترین باکتری‌های پروبیوتیک هستند که اثرات سودمندی روی میزبان‌شان دارند. این باکتری‌ها گرم مثبت هستند و معمولاً در محیط‌های بی‌هوازی زندگی می‌کنند اما آن‌ها می‌توانند

شرایط هوازی را هم تحمل کنند. لاکتوباسیلوس پلانٹاروم یک باکتری پروبیوتیک، گرم مثبت، هتروفورمنتاتیو، میله‌ای، غیر اسپورزا، غیر متحرک و تولید کننده اسیدلاکتیک بوده که می‌تواند در محدوده دمایی ۱۵ تا ۴۵ درجه سانتی‌گراد رشد کند (Iyer and Hittinahalli, 2008). برحسب استانداردها، برای بروز ویژگی‌های سلامتی بخش پروبیوتیک‌ها باید به تعداد 10^6 CFU/g تا 10^7 CFU/g از محصول پروبیوتیک وجود داشته باشند. مانع اصلی برای حفظ این سطوح پیشنهادی، قابلیت زنده‌مانی ناچیز ناشی از تنش اسیدیته و اکسیژن توسعه یافته و نقصان مواد غذایی می‌باشد (Shah and Ravula, 2000; Talwalkar and Kailasapathy, 2004). علاوه بر این pH بسیار پایین معده، همچنین حضور نمک‌های صفاوی در روده، دلایل اصلی کاهش ناگهانی در قابلیت زیستی سلول‌های انتقال یافته است. از این رو بررسی زنده‌مانی باکتری‌های پروبیوتیک در مسیر دستگاه گوارش از اهمیت زیادی برخوردار است (Ding and Shah, 2008; El-Shafei *et al.*, 2010; ayalalitha *et al.*, 2012). جهت غلبه بر این مشکلات، شیوه‌های مختلفی شامل کشت‌های میکروبی (Luorens and Viloen, 2001)، ریزپوشانی و افزودن پری‌بیوتیک‌ها وجود دارد (Capela *et al.*, 2006). از دیدگاه میکروبی شناختی، ریزپوشانی عبارت است از پوشش دادن لایه‌ای از هیدروکلوئیدها به دور سلول‌های زنده در مقیاس میکروسکوپی و محصور کردن آن‌ها به منظور تفکیک کردن از محیط، بطوری که آزاد سازی هدفمند سلول‌ها (در مکان و زمان مناسب) را در پی داشته باشد (Krasakoopt *et al.*, 2003; Sultana *et al.*, 2000). عمده‌ترین ترکیبات مورد استفاده در ریزپوشانی پروبیوتیک‌ها، آلژینات سدیم است که یک هتروپلی ساکارید خطی است و از دو مونومر D-مانورونیک اسید و L-گلورونیک اسید تشکیل شده است و از انواع جلبک‌های دریایی استخراج می‌شود. علت استفاده از آن ارزانی، سهولت کاربرد، سمی نبودن، فناوری آسان و

rRNA جداسازی و شناسایی شد (Mohammadian *et al.*, 2016). اکثری مورد نظر در ۲۰ mL محیط کشت MRS broth در دمای ۳۷ °C به مدت ۴۸ ساعت در شرایط بی‌هوازی فعال گردید، سپس نمونه حاصل در محیط کشت MRS Agar به مدت ۴۸ ساعت در دمای ۳۷ °C و در شرایط بی‌هوازی و در انکوباتور کشت داده شد. پس از رشد، نمونه‌ها با سرم فیزیولوژی استریل شستشو داده شدند و با دور ۱۵۰۰ rpm به مدت ۱۵ دقیقه سانتریفیوژ شده و رسوب حاصله در سرم فیزیولوژی استریل به صورت سوسپانسیون در آمد و به کمک لوله‌های استاندارد مک فارلند با غلظت $2/4 \times 10^9$ CFU/g تنظیم شدند و جهت ریزپوشانی کردن به دانشکده داروسازی دانشگاه علوم پزشکی جندی شاپور منتقل شدند.

فرآیند ریزپوشانی

براساس روش Huiyi و همکاران (۲۰۱۳) ابتدا ۵ g پودر کرنات کلسیم به ۱۰۰ mL آب مقطر اضافه و به مدت ۱۵ دقیقه سونیکه شد. مقدار ۳/۵ mL سوسپانسیون کرنات کلسیم به ۵۵ mL محلول آلژینات ۲ درصد (Sigma-Aldrich Viscosity 200_400 cP/Lit) بر روی دستگاه هم‌زن مغناطیسی با دور ۲۰۰ rpm در حال گردش اضافه و مدت ۳۰ دقیقه هم‌زن گردید. مقدار ۱۰ mL از محلول حاصل با ۵ mL سوسپانسیون میکروبی با غلظت $(2/4 \times 10^9)$ CFU/g مخلوط و به مدت ۱۵ دقیقه با هم‌زن با دور ۳۵۰ rpm هم‌زن شد. در بشردیگر، مقدار ۳۵ mL روغن گیاهی (روغن کلزا) را با ۰/۵ اسپن ۸۰ مخلوط و به مدت ۵ دقیقه آن را با دور ۱۰۰ rpm هم‌زن زد، سپس محلول حاصل با محلول بالا مخلوط و به مدت ۱۵ دقیقه با هم‌زن آزمایشگاهی هم‌زن گردید. ۱۰ mL روغن کلزا و ۰/۵ mL اسید استیک با هم مخلوط و قطره قطره به محلول فوق اضافه شد تا pH به حدود ۳/۵ رسید و ۳۰ دقیقه با دور ۲۰۰ rpm هم‌زن شد. در مرحله بعد با استفاده از بافر نمکی فسفات محلول حاصل به مدت

مطابقت و سازگاری با محیط زیست می‌باشد و به عنوان افزودنی مجاز غذایی شناخته شده است (Mortazavian *et al.*, 2007; Ariful *et al.*, 2010). به دلیل اینکه آلژینات در حضور یون کلسیم ژل تشکیل می‌دهد، قرارگرفتن آن در محیط‌های یونی یا عوامل شلاته کننده مانند فسفات‌ها، لاکتات‌ها، و سیترات (که یون کلسیم را جذب می‌کنند) باعث از هم‌پاشی کامل کپسول آلژینات می‌شود (Ariful *et al.*, 2010). که این عیب را می‌توان به وسیله پوشش دادن سطح بیرونی آلژینات با سایر ترکیبات پلی‌مری بهبود بخشید.

کیتوزان یک پلی ساکارید خطی با بار منفی ناشی از گروه‌های آمینی است که از دی‌استیلاسیون کیتین به دست می‌آید. بعد از سلولز، کیتین فراوان‌ترین پلی ساکارید طبیعی در زمین است. به دلیل اینکه بازده کیتوزان در افزایش قابلیت زنده مانی سلول‌ها رضایت بخش نیست معمولاً این پلی ساکارید بیشتر به عنوان پوشش ثانویه استفاده می‌شود (Kumar *et al.*, 2007; Mortazavian *et al.*, 2007). در کنار این خصوصیت محافظت‌کنندگی، مخلوط آلژینات-کیتوزان مزیت دیگری دارد که باعث می‌شود مواد مغذی و متابولیت‌ها بتوانند از کپسول به بیرون یا داخل انتشار پیدا کنند. در نتیجه مواد هسته دارای متابولیسم فعالی خواهند بود (Charalampopoulos and Rastall, 2009). در حقیقت ریزپوشانی باکتری‌های پروبیوتیک با پوشش آلژینات و کیتوزان محافظت در برابر شرایط شیره گوارشی را فراهم می‌کند. بنابراین روش خوبی برای تحویل سلول‌های باکتریایی زنده به روده می‌باشد. لذا در این مقاله از تکنیک ریزپوشانی به منظور افزایش قابلیت زنده‌مانی باکتری‌های پروبیوتیکی استفاده شده است.

مواد و روش کار

تهیه باکتری: در این تحقیق از پروبیوتیک لاکتوباسیلوس پلانتروم جداسازی شده از روده ماهی شیربت (*Tor grypus*) استفاده شد. این باکتری با استفاده از ژن 16s

England) تثبیت و به مدت ۲ دقیقه بوسیله طلا و پالادیم پوشش داده شدند. مشاهده ریزپوشینه‌ها بوسیله میکروسکوپ الکترونی مدل (LEO 1455 VP Germany) با تابش الکترونی ۱۰ Kv در آزمایشگاه مرکزی دانشگاه شهید چمران انجام پذیرفت. قطر میانگین = 100^{μ}

$$\mu = 1/100 \sum_{nj=1}^n qj \frac{\log_{10}xj + \log_{10}xj + 1}{2}$$

$$\sigma = \sqrt{\left\{ \frac{1}{100} \sum_{j=1}^n qj \left(\frac{\log_{10}xj + \log_{10}xj + 1}{2} \right)^2 \right\} - \mu^2}$$

پتانسیل زتا

به منظور تعیین پتانسیل زتای نمونه‌ها، از دستگاه زتا سائزر Nano-ZS ساخت شرکت Malvern انگلستان استفاده شد.

آماده سازی شرایط شبیه سازی شده معده

شرایط شبیه سازی شده شیره معده، مطابق با روش Michida و همکاران (۲۰۰۶) انجام گرفت. بدین گونه که پپسین (Sigma Aldrich P7000) با محلول سدیم کلراید ۰/۵ درصد تا رسیدن به غلظت ۳ g/L مخلوط شد، و سپس pH آن به وسیله اسید کلریدریک استریل (۰/۱ مولار) به ۲/۵ رسانده شد، محلول حاصله بوسیله میکرو فیلتر ۰/۴۵ میکرومتر (Millipore) استریل گشت.

آماده سازی شرایط شبیه سازی شده روده

شرایط شبیه سازی شده شیره روده مطابق روش Charteris و همکاران (۱۹۹۸) انجام گرفت. بدین ترتیب که، پانکراتین (Sigma Aldrich P1500) با سدیم کلرید ۰/۵ درصد تا رسیدن به غلظت نهایی ۱ g/L با ۴/۵ درصد محلول نمک‌های صفراوی (Oxoid, Basingstoke UK) مخلوط شد، سپس pH آن با محلول سود ۰/۱ مولار

۵ دقیقه در ۱۰۰۰ rpm سانتریفیوژ شد تا روغن از محصول جدا شود. در مرحله نهایی به میزان ۱۵ mL محلول کیتوزان ۰/۴ درصد (Sigma-Aldrich: Low molecular weight) به مدت ۳۰ دقیقه، قطره قطره با دور ۸۰۰ rpm به محلول اضافه شد و بعد به مدت یک ساعت در حالت چرخش گذاشته شد تا به هم زده شود. در نهایت باکتری‌های ریزپوشانی شده به وسیله سانتریفیوژ با دور ۳۰۰۰ rpm به مدت ۱۵ دقیقه جمع آوری شد.

شمارش تعداد باکتری‌های بدام افتاده در ریزپوشینه‌ها

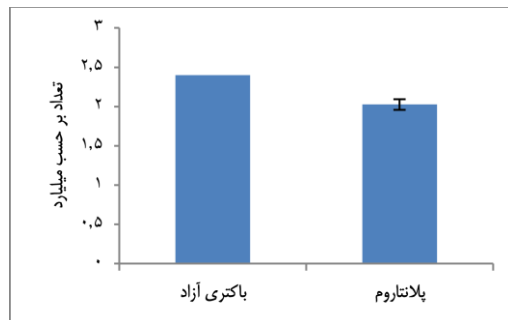
۱ گرم از نمونه‌های ریزپوشانی شده را در ۹۹ mL محلول ۱ درصد وزنی-حجمی (W/V) سدیم سیترات استریل در pH حدود ۷/۲ پراکنده و به مدت ۲۰ دقیقه در دمای اتاق هم‌زده تا ریزپوشینه‌ها بطور کامل حل و باکتری‌ها آزاد شوند، آنگاه با استفاده از محیط کشت MRS agar در شرایط بی‌هوازی، دمای ۳۷°C و به مدت ۴۸ ساعت گرمخانه‌گذاری و سپس تعداد باکتری‌ها شمارش شد، این شمارش در ۳ تکرار صورت پذیرفت (Mokarram 2009).
(*et al.*)

آزمون فیزیکی ذرات

تعیین اندازه ذرات و نحوه پراکنش آن‌ها: اندازه ریزپوشینه‌های حاصل و فراوانی آن‌ها با استفاده از دستگاه اندازه‌گیری قطر ذرات مدل Scatter scope 1 Qudix (Korea) تعیین و برای این منظور ریزپوشینه‌ها در آب یون‌زدایی شده پراکنده و نتایج بر اساس قطر حجم میانگین (VMD) ذرات \pm استاندارد خطا، d_{50} ، d_{10} ، d_{peak} و d_{90} گزارش و بر اساس فرمول مربوط به قطر میانگین مورد آنالیز قرار گرفت (Mokarram *et al.*, 2009).

تعیین مرفولوژی ذرات: برای تعیین مرفولوژی ذرات و مشاهده شکل ظاهری آن‌ها از میکروسکوپ الکترونی و تکنیک SEM استفاده شد. بدین جهت ریزپوشینه‌ها بوسیله چسب دو طرفه بر روی کوتر (SC 7620)

تعداد باکتری‌های ریزپوشینه شده CFU/mL $2/02 \pm 0/06 \times 10^9$ محاسبه شد (شکل ۱).



شکل ۱: مقایسه تعداد باکتری‌های ریزپوشانی شده با باکتری‌های آزاد (بدون پوشش)

Figure 1: Comparison of microencapsulated bacteria and bacteria-free.

مشاهده با روش SEM نشان داد که ریزپوشینه‌ها از نظر شکل ظاهری تا حدود زیادی به شکل کروی و بیضوی هستند (شکل ۲). قطر حجم میانگین ریزپوشینه (VMD) در روش امولسیون $2/39 \mu\text{m}$ بود. قطر 90% ذرات مساوی یا کمتر از $3/82 \mu\text{m}$ ، 50% ذرات (d_{50}) مساوی و یا کمتر از $2/39 \mu\text{m}$ و برای 10% ذرات (d_{10}) قطری مساوی یا کمتر از $1/50 \mu\text{m}$ بدست آمد. هم چنین $d_{\text{peak}} = 10/4 \mu\text{m}$ محاسبه شد (شکل‌های ۲ و ۳).

پتانسیل زتا

مقدار پتانسیل زتا در این تحقیق، به روش امولسیون mv $+36/2$ محاسبه شد (pH محلول $3/5$) (شکل ۴).

زنده‌مانی باکتری‌های آزاد و ریزپوشانی شده در شرایط مشابه شیره معده و روده

در این پژوهش زنده ماننی پروبیوتیک لاکتوباسیلوس پلاتناروم به صورت ریزپوشانی شده و بدون پوشش در طی 120 دقیقه در شرایط شبیه سازی شده معده و روده فیل ماهی مورد تجزیه و تحلیل قرار گرفت (جدول ۱).

استریل به حدود $7/4$ رسانده شد، محلول حاصل بوسیله میکرو فیلتر $0/45$ میکرومتر (Millipore) استریل گشت.

بررسی زنده‌مانی باکتری‌های ریزپوشانی شده در شرایط شبیه سازی شده شیره معده و روده

بر اساس روش Mokarram و همکاران (۲۰۰۹)، مقدار یک گرم از ریزپوشینه‌ها همراه با 1 mL از سوسپانسیون باکتری‌های آزاد داخل تیوب‌های حاوی 9 mL از شیره معده ریخته شد و برای مدت 2 ساعت در دمای 22 درجه سانتی‌گراد در حال هم‌زدن قرار گرفت. سپس ریزپوشینه‌ها و باکتری آزاد خارج و به تیوبی که حاوی 10 mL محیط شبیه سازی شده روده بود انتقال داده شدند و 2 ساعت در دمای 22 درجه سانتی‌گراد قرار گرفت و در طی این مدت، در فواصل زمانی صفر، 60 ، 120 دقیقه تعداد باکتری‌ها در ریزپوشینه‌ها و باکتری‌های آزاد با استفاده از روش رقیق سازی توسط پپتون واتر، در محیط MRS Agar کشت داده شد، و تعداد کلونی‌های تشکیل شده بعد از 48 ساعت گرمخانه گذاری در دمای 37 درجه سانتی‌گراد شمارش شد. این کار با 3 تکرار برای هر نمونه انجام شد.

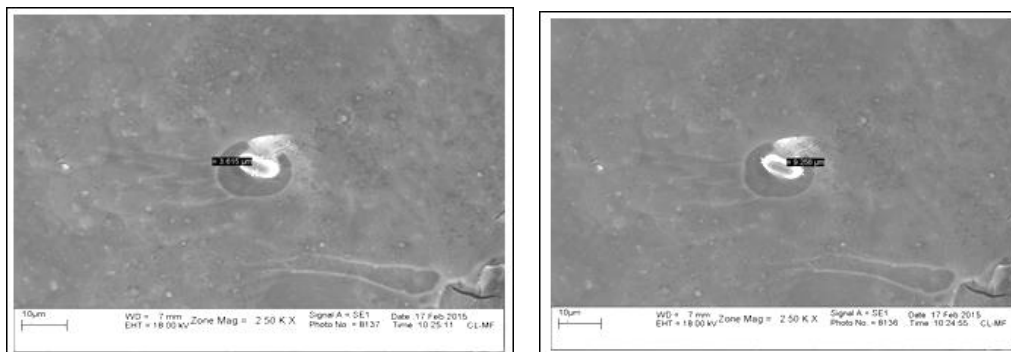
تجزیه و تحلیل داده‌ها

جهت تجزیه و تحلیل داده‌ها از روش آنالیز واریانس یک طرفه و دو طرفه نرم افزار SPSS نسخه شماره 22 استفاده شد. برای بررسی معنی‌دار بودن تفاوت میانگین‌ها از پس آزمون دانکن استفاده شد. در تمام بررسی‌ها سطح معنی‌دار آزمون‌ها ($p < 0/05$) در نظر گرفته شد. همچنین ترسیم نمودارها نیز در فضای نرم‌افزار Excel (نسخه 2007) انجام گرفت.

نتایج

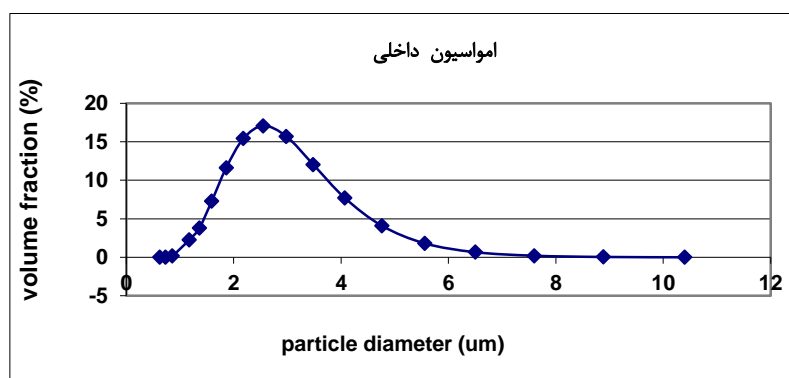
شمارش تعداد ریزپوشینه‌ها و تعیین اندازه ذرات و نحوه پراکنش آن‌ها

تعداد اولیه باکتری‌های زنده قبل از ریزپوشانی CFU/mL $2/4 \times 10^9$ محاسبه شد. بر حسب داده‌های بدست آمده



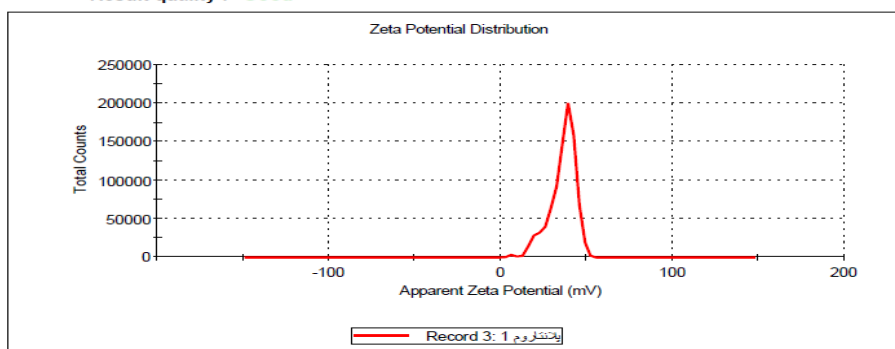
شکل ۲: تصویر میکروسکوپ الکترونی از ریزپوشینه‌ها

Figure 2: Electron microscope image of a microcapsule method based.



شکل ۳: نحوه پراکنش اندازه ذرات ریزپوشینه و درصد فراوانی آن‌ها بر اساس داده‌های دستگاه پارتیکل سائز آنالایزر
Figure 3: Particle size distribution of microcapsules using ionic gelation and frequency are based on data Particle Size Analyzer.

	Mean (mV)	Area (%)	St Dev (mV)
Zeta Potential (mV): 36.2	Peak 1: 36.3	99.4	7.48
Zeta Deviation (mV): 7.74	Peak 2: 6.93	0.6	1.73
Conductivity (mS/cm): 1.44	Peak 3: 0.00	0.0	0.00
Result quality: Good			



شکل ۴: پتانسیل زتای ریزپوشینه‌ها با استفاده از آلژینات (با ویسکوزیته متوسط)

و کیتوزان (با وزن مولکولی پایین)، pH محلول آلژینات و کیتوزان ۳/۵ بود.

Figure 4: Microcapsules of zeta potential ionic gelation method using alginate and chitosan (low molecular weight). PH of alginate and chitosan solution was 3.5.

جدول ۱: تعداد (کیسول CFU/g) باکتری‌های زنده مانده لاکتوباسیلوس پلانتاروم آزاد و ریزپوشانی شده در شرایط شبیه سازی شده معده و روده در توالی های زمانی مختلف بعد از انکوبا سیون در $pH = 7.2$ و دمای ۳۷ درجه سانتی‌گراد. حروف کوچک لاتین غیر همانم روی انحراف معیار نشان دهنده تفاوت معنی‌دار در سطح ۰/۰۵ در هر ستون، و حروف بزرگ لاتین غیر همانم نشان دهنده تفاوت معنی دار در سطح ۰/۰۵ در هر ردیف می‌باشد.

Table 1: Number (CFU / g capsule) of *Lactobacillus plantarum* bacteria, free and microencapsulated from incubation in simulated gastrointestinal conditions in different time sequences ($pH = 7.2$). Non-homogeneous Latin letters on the standard deviation indicate a significant difference at the level of 0.05 in each column, and non-homonymous Latin letters indicate a significant difference at the level of 0.05 in each row.

زمان (دقیقه)		پروبیوتیک	
۱۲۰	۶۰	صفر	تیمار
$1/59 \pm 0.09 \times 10^{10}$ ^{9bB}	$1/74 \pm 0.09 \times 10^{10}$ ^{9aA}	$1/84 \pm 0.06 \times 10^{10}$ ^{9aA}	باکتری آزاد
$2/03 \pm 0.06 \times 10^{10}$ ^{9aA}	$1/86 \pm 0.05 \times 10^{10}$ ^{9aB}	$1/33 \pm 0.30 \times 10^{10}$ ^{9bC}	باکتری ریزپوشانی شده

گفته‌اند ریزپوشینه‌های ($> 1 \text{ mm}$) موجب خشن شدن بافت افزودنی‌های غذایی می‌شوند مطابقت دارد. تعداد اولیه باکتری‌های زنده قبل از ریزپوشانی CFU/mL $2/4 \times 10^9$ محاسبه شد. بر حسب داده‌های بدست آمده تعداد باکتری‌های به دام افتاده در ریزپوشینه‌ها CFU/mL $2/02 \pm 0.06 \times 10^9$ محاسبه شد. حفظ قابلیت زیست سلول هم یک عامل مهم در انتخاب فرآیند تولید کیسول‌ها است. تعداد کم باکتری‌های از دست رفته نشانگر دقت مناسب بکار رفته در روش و نحوه ریزپوشانی می‌باشد. به عبارت دیگر بازده ریزپوشانی بر حسب درصد در روش امولسیون ۸۴ درصد بدست آمد. در مطالعه Huiyi و همکاران (۲۰۱۳) که سلول‌های مخمر را با روش امولسیون ریزپوشانی کرد، بازده ریزپوشانی ۸۰ درصد گزارش شد. در مورد روش امولسیون صدمه زننده‌ترین عامل به قابلیت زیست سلول ممکن است عامل کاربرد اسید باشد ولی با توجه شرایط یکسان هر دو پژوهش از لحاظ نوع اسید و غلظت به کار رفته و همچنین سرعت هم‌زدن و غلظت امولسیفایر، این اختلاف در بازده ریزپوشانی را احتمالاً می‌توان ناشی از سلول‌های ریزپوشانی شده متفاوت در دو پژوهش دانست. از طرفی دیگر بسیاری از منابع گزارش کردند که غلظت پلیمر می‌تواند بر بازده ریزپوشانی اثر بگذارد. Klemmer و

بحث

استفاده از باکتری‌های پروبیوتیک در آزیان در حال افزایش می‌باشد. با این حال هنوز نیاز به تحقیقات زیادی در این مورد می‌باشد. به منظور افزایش زنده‌مانی باکتری لاکتوباسیلوس پلانتاروم در شرایط معده و روده فیل‌ماهی این باکتری به وسیله آلژینات سدیم ریزپوشانی و با کیتوزان پوشش داده شد. مشاهده با روش SEM نشان داد که ریزپوشینه‌ها از نظر شکل ظاهری تا حدود زیادی به شکل کروی و بیضوی هستند (شکل ۱). قطر حجم میانگین ریزپوشینه‌ها (VMD)، $2/39 \mu\text{m}$ ، قطر متوسط ۹۰ درصد دانک‌ها (d_{90}) برابر $3/82 \mu\text{m}$ ، قطر متوسط نیمی از دانک‌ها (d_{50}) مساوی و یا کمتر از $2/39 \mu\text{m}$ و قطر متوسط ۱۰ درصد دانک‌ها (d_{10}) برابر $1/50 \mu\text{m}$ محاسبه شد. همچنین d_{peak} برابر $1/04 \mu\text{m}$ بدست آمد. اندازه متوسط ریزپوشینه‌ها یک ویژگی مهم برای پایداری و کارایی ریزپوشانی است. ریزپوشینه‌ها با اندازه بزرگ حفاظت بیشتری را ارائه می‌دهند اما ریزپوشینه‌های بزرگ دارای تاثیر حسی منفی بر محصول هستند. همچنین ریزپوشینه‌های با اندازه کوچک ممکن است حفاظت کافی برای پروبیوتیک‌ها فراهم نکنند (Ma et al., 2008, Hansen, 2012). همکاران (۲۰۰۲) گزارش کردند که اندازه زیر $100 \mu\text{m}$ برای اجتناب از تاثیر حسی منفی در محصولات مطلوب است. این نتایج همچنین با گزارشات

در طول این مدت تعداد باکتری در حالت آزاد به طور معنی داری کاهش یافت که این نتیجه نشان می‌دهد که ریزپوشانی باکتری لاکتوباسیلوس پلانتاروم در بستر آلژینات و کیتوزان تا اندازه زیادی منجر به حفاظت سلول باکتری در مقابل شرایط اسیدی معده و روده می‌شود، به عبارت دیگر ریزپوشانی باکتری به مانند حایلی تأثیر سوء شرایط نامساعد محیطی روی باکتری را کاهش داده و باعث افزایش ماندگاری آن‌ها می‌شود. Lu و همکاران (۲۰۱۳) بقاء باکتری پروبیوتیکی لاکتوباسیلوس بولگاریکوس ریزپوشانی شده با آلژینات و شیر را در شرایط شبیه سازی شده شیره گوارشی مورد ارزیابی قرار دادند، نتایج نشان داد که ریزپوشانی می‌تواند مقاومت لاکتوباسیلوس بولگاریکوس به محیط‌های نامساعد را افزایش دهد. Mokarram و همکاران (۲۰۰۹) اثر مثبت ریزپوشانی با آلژینات کلسیم بر بهبود بقاء لاکتوباسیلوس اسیدوفیلوس در شرایط شبیه سازی شده شیره گوارشی را گزارش دادند. Gbassi و همکاران (۲۰۰۹) ریزپوشانی سه سویه از لاکتوباسیلوس پلانتاروم در پوشش آلژینات - وی پروتئین (Wehy protein) را سبب افزایش قابلیت زنده ماندن باکتری در شرایط شبیه سازی شده معده و روده دانست. نتایج به دست آمده از این پژوهش، با نتایج Krasaekoopt و همکاران (۲۰۰۴) که بیفیدوباکتریوم بیفیدوم ATCC1994 را با آلژینات سدیم، کیتوزان و پلی-ال-لیزین پوشش دادند و باکتری‌ها در شرایط اسیدی معده حتی وقتی ریزپوشانی شدند، زنده ماندند و Gildas و همکاران (۲۰۰۹) که بیان کردند ریزپوشانی باکتری‌ها در مهره‌های آلژینات، به شکل موثر از میکروارگانسیم‌ها در برابر اسیدیته بالا محافظت نکرد، در تناقص می‌باشد.

فعالیت نمک‌های صفاوی در شرایط آزمایشگاهی ممکن است بسیار بیشتر از عمل واقعی آن‌ها در روده باشد، زیرا در روده امکان ترکیب این نمک‌ها با فسفو لیپیدها نیز وجود دارد. Zou و همکاران (۲۰۱۲) پایداری ذخیره سازی بیفیدوباکتریوم بیفیدوم را در ریزپوشینه‌های

همکاران (۲۰۱۱) دریافتند که سطوح بالاتر پروتئین شیر برای ریزپوشانی پروبیوتیک‌ها به طور قابل توجهی باعث افزایش بازده ریزپوشانی می‌گردد.

در یک سیستم کلوییدی اختلاف پتانسیل بین لایه یونی غیرمتحرک (لایه استرن) و لایه متحرک (لایه انتشار) در اتمسفر یونی اطراف ذرات باردار، پتانسیل زتا نامیده می‌شود. پتانسیل زتا بهترین شاخص برای تعیین وضعیت الکتریکی سطح ذرات است. چون نشان دهنده میزان تجمع بار در لایه غیر متحرک و شدت جذب یون‌های مخالف بر روی سطح ذره است و بنابراین بار ذرات اغلب بر حسب پتانسیل زتا گزارش می‌شود. بالا بودن پتانسیل زتای ذرات کلوییدی موجب بالا رفتن نیروی دافعه الکترواستاتیک و در نتیجه افزایش پایداری فیزیکی سیستم می‌شود (Borges *et al.*, 2008). دامنه متعادل پتانسیل زتا بالای $30 \text{ mv} +$ یا زیر $30 \text{ mv} -$ در نظر گرفته می‌شود. مقدار به دست آمده در این تحقیق $36/2 \text{ mv} +$ بود (pH محلول آلژینات و کیتوزان $3/5$) که نشان می‌دهد ریزپوشینه‌های تولیدی دارای تعادل کلوییدال مناسبی هستند، این پایداری در جلوگیری از انباشته شدن مهم می‌باشد. عوامل مختلفی از جمله pH، قدرت یونی و غلظت ماکرومولکول‌های پلی‌ساکاریدی و پروتئینی مورد استفاده، نسبت بین آن‌ها و ... بر روی میزان بار سطحی و پتانسیل زتا کمپلکس حاصل موثر است (Peinado *et al.*, 2010).

نتایج بدست آمده از شمارش باکتری‌ها نشان می‌دهد که ریزپوشانی توانسته تأثیر چشمگیری در قابلیت زنده ماندن باکتری در شرایط شبیه سازی شده شیره معده و روده داشته باشد. تعداد اولیه باکتری در حالت آزاد و ریزپوشانی شده به ترتیب $2/4 \times 10^9 \text{ CFU/mL}$ ، $2/06 \pm 0/06 \times 10^9$ بود که بعد از سپری شدن در زمان های صفر، ۶۰ و ۱۲۰ دقیقه در شرایط مشابه مایع معدی (pH=۲/۵) و به دنبال آن به مدت ۱۲۰ دقیقه در شرایط مشابه مایع روده ای (pH=۷/۴)، به ترتیب به $2/03 \pm 0/06 \times 10^9 \text{ CFU/mL}$ و $1/59 \pm 0/09 \times 10^9$ رسید.

Shellfish Immunology, 17:115–120.
DOI:10.1016/f.s.i.2003.11.007.

Ariful, I.M., Yun, C.H., Choi, Y. and Cho, C.S., 2010. Microencapsulation of live probiotic bacteria. *Microbiol Biotechnol*, 20(10): 1367-1377. DOI: 10.4014/mb.1003.03020.

Borges, O., Silva, M., de Sousa, A., Borchard, G., Unginger, H.E. and Cordeiro-da-Silva, A., 2008. Alginate coated chitosan nanoparticles are an effective subcutaneous adjuvant for hepatitis B surface antigen. *Int. Immunopharmacol.*, 8: 1773–1780. DOI: 10.1016/intimp.2008.08.013.

Capela, P., Hay, T.K.C. and Shan, N.P., 2006. Effect of cryoprotectants, prebiotics and microencapsulation on survival of probiotic organisms in yoghurt and freeze-dried yoghurt. *Food Research International*, 39. 203-211. DOI: 10.1016/foodres.2005.07.007.

Charalampopoulos, D. and Rastall, R.A. (Eds.), 2009. Prebiotics and probiotics science and technology (Vol. 1). New York: Springer.

Charteris, W.P., Kelly, P.M., Morelli, L. and Collins, J.K., 1998. Development and application of an in vitro methodology to determine the transit tolerance of potentially probiotic *Lactobacillus* and *Bifidobacterium* species in the upper human gastrointestinal tract. *Journal of Applied*

آلژینات، ریزپوشینه‌های ترکیب شده با نشاسته، پکتین، کیتوزان و پلی - ال - لیزین را مورد مطالعه قرار دادند. ریزپوشینه‌های پوشیده شده با کیتوزان حمایت بهتری را برای باکتری‌های ریزپوشانی شده نسبت به ریزپوشینه‌های دیگر در طول ذخیره سازی از خود نشان دادند، این احتمالاً ناشی از یک غشا متراکم تشکیل شده در ریزپوشینه‌های پوشیده شده با کیتوزان بوده است. براساس پژوهش انجام شده می‌توان نتیجه گرفت که ریزپوشانی پروبیوتیک‌ها نقش بسیار مهمی در حفاظت این میکروارگانیسم‌ها در برابر شرایط نامساعد محیطی از جمله شرایط شبیه سازی شده روده و معده ایفا می‌کند و در نتیجه میزان بقای این ارگانیسم‌ها را در شرایط ذکر شده بهبود می‌بخشد. ریزپوشانی با روش امولسیون توانسته راندمان بالایی در به دام اندازی سلول پروبیوتیک داشته باشد و ریزپوشینه‌های یکنواختی را تولید کند. هم چنین تعادل کلوئیدال ریزپوشینه‌ها در سطح مناسبی قرار داشت.

منابع

Allan-Wotas, P., Hansen, L.T. and Paulson, A. T., 2008. Microstructural studies of probiotic bacteria-loaded alginate microcapsules using standard electron microscopy techniques and anhydrous fixation. *LWT-Food Science and Technology*, 41(1): 101-108. DOI: 10.1016/lwt.2007.02.003.

Alvandi, S.V., Viayan, K.K., Santiago, T.C., Poornima, M., Ithendran, K.P., Ali, S.A. and Raan, S., 2004. Evaluation of *Pseudomonas* sp. PM 11 and *Vibrio fluvialis* PM 17 on immune indices of tiger shrimp, *Penaeus monodon*. *Fish and*

- Microbiology*, 84(5), 759-768. DOI: 10.1046/.1365-2672.1998.00407.x.
- Ding, W.K. and Shah, N.P., 2008.** Survival of free and Microencapsulated Probiotic Bacteria in Orange and Apple juices. *International Food Research Journal*, 15(2), 219-232.
- El-Shafei, K., Tawfik, N.F., Dabiza, M.A., Sharaf, O.M. and Effat, B.A., 2010.** In vitro assessment of gastrointestinal viability of potentially probiotic Lactobacilli. *Journal of American Science*, 6(11), 430-435.
- Gbassi, G.K., Vandamme, T., Ennahar, S. and Marchioni, E., 2009.** Microencapsulation of *Lactobacillus plantarum* spp. in an alginate matrix coated with whey proteins. *International Journal of Food Microbiology*, 129(1), 103-105. DOI: 10.1016/.ifoodmicro.2008.11.012.
- Gildas, K.G., Vandamme, T., Ennahar, S., Marchioni, E., 2009,** Microencapsulation of *Lactobacillus plantarum* spp. in an alginate matrix coated with whey proteins. *International Journal of Food Microbiology*, 129: 103-105. 74. DOI: 10.1016/.ifoodmicro.2008.11.012.
- Hansen, L.T., Allan-Wotas, P.M., in, Y.L. and Paulson, A.T., 2002.** Survival of Calcium alginate microencapsulated Bifidobacterium spp. in milk and simulated gastrointestinal conditions. *Food Microbiology*, 19(1), 35-45. DOI: 10.1006/fmic.2001.0452.
- Huiyi, S., Yu, W., Gao, M., Liu, X. and Ma, X., 2013.** Microencapsulated probiotics using emulsification technique coupled with internal or external gelation process. *Carbohydrate Polymers*, 96(1), 181-189. DOI: 10.1016/.carbpol.2013.03.068.
- Iyer, R. and Hittinahalli, V., 2008.** Modified Pap method to among methicillin resistant Staphylococcus aureus isolates tertiary care hospital. *Medical Microbiology*, 26,176-179.
- ayalalitha, V., Balasundaram, B. and Palanidorai, R., 2012.** In vitro assessment of microencapsulated probiotic beads. *International Journal of Agriculture: Research and Review*, 2(1), 1-6.
- Klemmer, K., Korber, D.R., Low, N.H. and Nickerson, M.T., 2011.** Pea protein-based capsules for probiotic and prebiotic delivery. *International Journal of Food Science and Technology*, 46(11), 2248-2256. DOI: 10.1111/.1365-2621.2011.02743.x.
- Krasakoopt, W., Bhandari, B. and Deeth, H., 2003.** Evaluation of encapsulation techniques of probiotics for yoghurt. *International Dairy Journal*, 13, 3-13. DOI:10.1016/S0958-6946(02)00155-3.
- Krasakoopt, W., Bhandari, B. and Deeth, H., 2004.** The influence of coating materials on some properties of alginate beads and survivability of microencapsulated probiotic

- bacteria. *International Dairy Journal*, 14(8), 737-743. DOI: 10.1016/j.idairy.2004.01.004.
- Kumar, A. Singh, H. and Singh, A., 2007.** Recent Advances in Microencapsulation of Probiotics for Industrial Applications and Targeted Delivery. *Trends in Food Science and Technology*, 18: 240-251. DOI: 10.1016/j.tifs.2007.01.004.
- Lourens, A. and Viloen, B.C., 2001.** Growth and survival of a probiotic yeast in dairy products. *Food Research International*, 34(9), 791-796. DOI: 10.1016/S0963-9969(01)00085-0.
- Lu, E.S; Zhen, H.L., Dan, T.L., Min, X., Huai, Y.C., Zhi, L.Z. and Zhen, X., 2013.** Encapsulation of probiotic *Lactobacillus bulgaricus* in alginate-milk microspheres and evaluation of the survival in simulated gastrointestinal conditions. *Journal of Food Engineering*, 117:99-104. DOI: 10.1016/j.foodeng.2013.02.012.
- Ma, Y., Pacan, .C., Wang, Q., Xu, Y., Huang, X., Korenevsky, A. and Sabour, P.M., 2008.** Microencapsulation of bacteriophage Felix O1 into chitosan-alginate microspheres for oral delivery. *Applied and Environmental Microbiology*, 74(15), 4799-4805. DOI: 10.1128/AEM.00246-08.
- Ma, Y., Pacan, .C., Wang, Q., Sabour, P.M., Huang, X. and Xu, Y., 2012.** Enhanced alginate microspheres as means of oral delivery of bacteriophage for reducing *Staphylococcus aureus* intestinal carriage. *Food Hydrocolloids*, 26(2), 434-440. DOI: 10.1016/j.foodhyd.2010.11.017.
- Michida, H., Tamalampudi, S., Pandiella, S.S., Webb, C., Fukuda, H. and Kondo, A., 2006.** Effect of cereal extracts and cereal fiber on viability of *Lactobacillus plantarum* under gastrointestinal tract conditions. *Biochemical Engineering Journal*, 28(1), 73-78. DOI: 10.1016/j.be.2005.09.004.
- Mohammadian, T., Alishahi, M., Tabandeh, M.R., Ghorbanpoor, M., Gharibi, D., Tollabi, M. and Rohanzade, S., 2016.** Probiotic effects of *Lactobacillus plantarum* and *L. delbrueckii* ssp. *bulgaricus* on some immune-related parameters in *Barbus grypus*. *Aquaculture International*, 24(1), 225-242. DOI: 10.1007/s10499-015-9921-8.
- Mokarram, R.R., Mortazavi, S.A., Naafi, M.H. and Shahidi, F., 2009.** The influence of multi stage alginate coating on survivability of potential probiotic bacteria in simulated gastric and intestinal juice. *Food Research International*, 42(8), 1040-1045. DOI: 10.1016/j.foodres.2009.04.023.
- Mortazavian, A., Razavi, S.H., Ehsani, M.R. and Sohrabvandi, S., 2007.** Principles and methods of microencapsulation of probiotic microorganisms. *Iranian Journal of Biotechnology*, 5(1), 1-18.

- Peinado, I., Lesmes, U., Andrés, A. and McClements, D., 2010.** Fabrication and morphological characterization of biopolymer particles formed by electrostatic complexation of heat treated lactoferrin and anionic polysaccharides. *Langmuir*, 26(12), 9827-9834. DOI:10.1021/la1001013.
- Rengpipat, S., Tunyanun, A., Fast, A.W., Piyatiratitivorakul, S. and Menasveta, P., 2003.** Enhanced growth and resistance to *Vibrio* challenge in pond-reared black tiger shrimp *Penaeus monodon* fed a *Bacillus* probiotic. *Diseases of aquatic organisms*, 55(2), 169-173. DOI: 10.3354/dao055169.
- Shah, N.P. and Ravula, R.R., 2000.** Microencapsulation of probiotic bacteria and their survival in frozen fermented dairy dessert. *Austral. Dairy Technol.* 55:139-114.
- Shah, N.P., 2007.** Functional cultures and health benefits. *Int. Dairy* . 17, 1262-1277. DOI: 10.1016/idairy.2007.01.014.
- Sultana, K., Godward, G., Reynolds, N., Arumugaswamy, R., Peiris, P. and Kailasapathy, K., 2000.** Encapsulation of probiotic bacteria with alginate-starch and evaluation of survival in simulated gastrointestinal conditions and in yogurt. *International Journal of Food Microbiology*, 62, 47-55. DOI:10.1016/S0168-1605(00)00380-9.
- Talwalker, A.N., Kailasapathy, K., 2004.** Effect of microencapsulation on oxygen toxicity in probiotic bacteria. *Dairy Technol.*, 58: 36-39.
- Zou, Q., Liu, X., Zhao, ., Tian, F., Zhang, H.P., Zhang, H. and Chen, W., 2012.** Microencapsulation of *Bifidobacterium bifidum* F-35 in Whey Protein-Based Microcapsules by Transglutaminase Induced Gelation. *Journal of Food Science*, 77(5), M270-M2. DOI: 10.1111/1750-3841.2012.02673.x

The effect of microencapsulation with alginate/chitosan on survival of probiotic bacteria (*Lactobacillus plantarum*) in the simulated condition of stomach and intestines in *Huso huso*

Hosseini S.S.¹; Mohammadian T.^{*1}; Abbaspour M.R.²; Alishahi M.¹

*takavar_m2002@yahoo.com

1- Department of Clinical Sciences, Faculty of Veterinary Medicine Shahid Chamran University of Ahvaz, Ahvaz, Iran

2- Targeted Drug Delivery Research Center, Mashhad University of Medical Sciences, Mashhad, Iran

Abstract

The positive effect of microencapsulation on tolerance simulated gastrointestinal conditions has been demonstrated by probiotics. The most important factors in reducing the viability of probiotics during passing through the digestive system are low pH in stomach and proteases and bile salts. To improve the survival rate of *Lactobacillus plantarum* in unfavorable condition of stomach and intestines, bacteria encapsulated with alginate/chitosan microencapsulation-emulsion. The aims of this study were to evaluate the effectiveness of microencapsulation with alginate/chitosan to carry bacteria and the survival rate of bacteria in the simulated condition of gastrointestinal tract. The microcapsules SEM technique used to study the appearance and the Particle Size Analyzers microcapsules method used to determine the size and distribution of particles. The survival rate of microencapsulated bacteria and released one in simulated gastrointestinal condition were assayed. For this purpose, they were incubated with intervals of 0, 60, 120 minutes for 48 hours at 37° C. The results indicated that d_{peak} was calculated 10.4 μm by emulsification and the average particle diameter was 2.39 μm . Zeta potential value in this study was +36.2 mv. Number of microencapsulated bacteria was $2.02 \pm 0.06 \times 10^9$ CFU/g and viability of bacteria after 120 minutes in simulated condition, digestive vices in free bacteria was $1.59 \pm 0.09 \times 10^9$ CFU/g and in microencapsulated bacteria was $2.03 \pm 0.06 \times 10^9$ CFU/g. The results from this study indicated that among microencapsulated and free bacteria, live-stay and enduring the conditions simulated digestive vices in encapsulated bacteria were much higher.

Keywords: Microencapsulation, *Lactobacillus plantarum*, Simulated gastrointestinal condition, Alginate/chitosan

*Corresponding author